

徳島大学 正員 水口裕え
日本興業 入山佳治
徳島大学 正員 荒木謙一

1. はじめに

本報告は、フレッシュコンクリートの性質を調べる研究の一環として、フレッシュコンクリートの主要成分であるフレッシュモルタルの性質について調べたものである。フレッシュモルタルをビンガム物体(図-1参照)と仮定し、そのレオロジー定数に及ぼすセメント量および細骨材量の影響について調べ、主としてフレッシュモルタルのレオロジー構成式を検討するための基礎的資料を得ようとしたものである。

2. 実験の概要

(i) 配合要因 配合要因はすべて体積割合とし、セメント体積濃度 η_c ($= \frac{c}{w+c}$, 以下 η_c と書く)および細骨材体積濃度 η_s ($= \frac{s}{w+c+s}$, 以下 η_s と書く)を採用した。測定範囲は、本実験で使用した平行板プラストメータで測定できる図-3に示す $\eta_c = 0.300 \sim 0.575$ で $\eta_s = 0.00$ (ペースト)~0.60の53種とした。

(ii) 使用材料および練り組せ 比重3.16, ブレーン値3,100 cm³/gの普通ポルトランドセメントを用い、細骨材としては、比重2.62で土木学会の標準粒度範囲にほぼはいるF.M.274の連続粒度の川砂を使用した。

各モルタル試料12種は、容量50lの強制練りミキサを用いて3分間で練り組せた。試料温度は練り組せ水の温度を変え20±1°Cになるようにした。

(iii) レオロジー定数およびスランプ値の測定 レオロジー定数の測定には、図-2に示す平行板プラストメータを用いた。平行板プラストメータの理論式は、円板形試料の半径を r 、高さを h 、作用している荷重を F とし、 $\dot{\gamma} = -\frac{9}{2} \frac{r}{h^2} \dot{h}$, $\tau = \frac{3F}{\pi r^3 h}$ とおくと、

$$\dot{\gamma} = \frac{1}{h^2} (\tau - \tau_0)$$

となる。したがって、試料に一定荷重を載荷しその時の試料高さの時間的变化を測定し、上式で $\dot{\gamma}$ および τ を計算してプロットすると図-1のようになるので、その直線部分の勾配の逆数から塑性粘度 η_{pl} 、 τ -軸との切片から降伏値 τ_0 を求めた。試料の寸法は、直径30cmおよび載荷開始時の高さを約3cmとした。試料高さは、ロッド上端に取り付けた変位計の読みをデジタルボルトメータおよびプリンタで記録して測定した。また、一般によく用いられているスランプ試験に準じた1/2スケールのスランプコーン(高さ15cm)を使用した1/2スケールスランプ値SL_{1/2}を測定した。

なお、測定は各配合とも2回を行い、その平均を測定値とした。

3. 実験結果および考察

フレッシュコンクリートの性質は、注水後の経過時間、温度、載荷履歴などによって変化すると考えられるが、試料温度はほとんどものが20±1°Cの範囲にあり、測定手順も一定にしたので、これらの影響を考慮においては無視する。

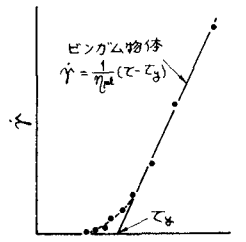


図-1 平行板プラストメータによる測定例

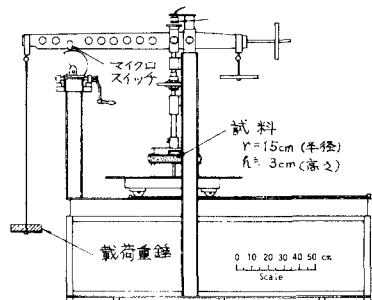


図-2 平行板プラストメータ

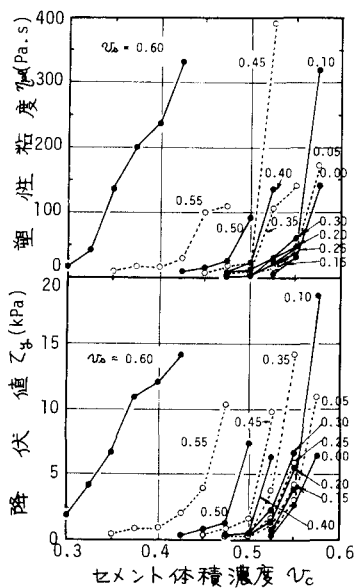


図-3 セメント体積濃度 η_c とレオロジー定数との関係

(i) セメント体積濃度 η_c とレオロジー定数との関係 セメントペースト量(1- η_c)を一定にして、セメント濃度すなわち η_c を変化させると、図-3に示されているように η_c が大きくなると η_{sp} , Z_g ともに増加しており、その傾向もほぼ同様である。 η_c および η_c のレオロジー定数に及ぼす影響に大きな差は示されていないが、 η_c の大きい部分では若干違いがある結果となっている。また、増加割合が変化する η_c の値は、ペースト量によって異なっており、配合要因とレオロジー定数との関係式では、 η_c , η_c とともに考慮しなければならないと思われる。

(ii) 細骨材体積濃度 η_s とレオロジー定数との関係 セメントペーストの性質(η_c)を一定にして、細骨材量すなわち η_s を変えると、図-4に示されているように η_s の増加とともに η_{sp} , Z_g ともに大きくなっている。その傾向はよく似ている。また、増加傾向 η_s の場合と同様に η_s の大きさによって異なっている。さらに図-3および4に見られるように、 η_c あるいは η_s のレオロジー定数に及ぼす影響は、ここれらの値が大きい方が大きくなっている。増加割合の変化する η_s あるいは η_c は、固定した η_s あるいは η_c が小さいほど大きくなっている。

(iii) 固体体積濃度とレオロジー定数との関係 (i)および(ii)の結果を合わせると、配合要因とレオロジー定数との関係でのパラメータとして、セメントと細骨材の両者を合計した固体体積濃度 η_s を考えられる。図-5は、固体体積濃度 $\frac{C_s + \rho}{W + C + \rho}$ とレオロジー定数との関係を示したもので、 η_{sp} , Z_g ともに同じような傾向を示しており、 $\eta_s = 0.525$ を境にして異なった領域に分けられると思われる。 η_s をパラメータとした結果も同様になり、 $\eta_s = 0.45 \sim 0.50$ が境界になるとと思われる。したがって、セメントあるいは細骨材のどちらか一方の相の濃度がある値以上になれば、モルタルの内部メカニズムが異なっていることなどが示唆されているように思われる。

(iv) スランプ²⁾値と降伏値 Z_g との関係 スランプ試験のレオロジー的意味づけの一つの試みとして、スランプ値は Z_g と密接な関係があると考えられる。試料の量を節約するためのスケールのスランプ試験装置によるスランプ²⁾値 S_1 と Z_g との関係は、図-6のようになり、よい相関が得られている。

4. おわりに

本実験の範囲では、モルタルはペーストあるいは細骨材のどちらかの相の濃度が大約 50% を越えれば、それ以下とは異なった挙動を示すようである。しかし、今回の実験では、細骨材としては一種類の連続粒度の場合のみであり、他の骨材要因についての検討が今後の課題と考えられる。

参考文献> 1) 関: 材料学, Vol. 12, pp. 314-316 (1963).
2) 水口, 他; 第29回土木学会概要集, 第5部, pp. 75-76 (1974).

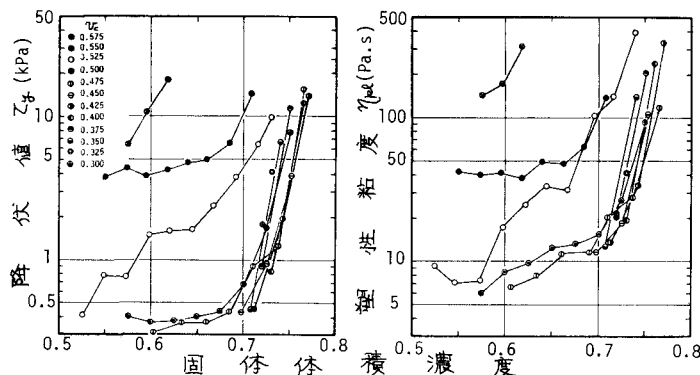


図-5 固体体積濃度とレオロジー定数との関係

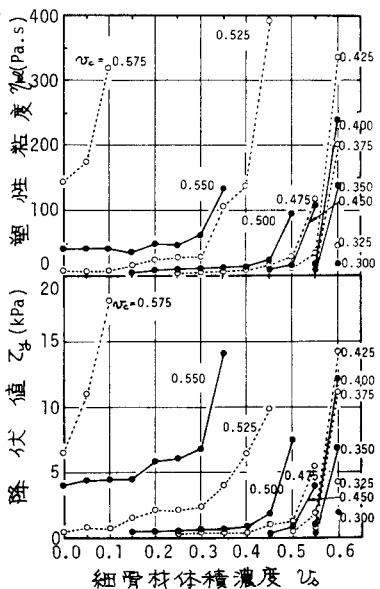


図-4 細骨材体積濃度 η_s とレオロジー定数との関係

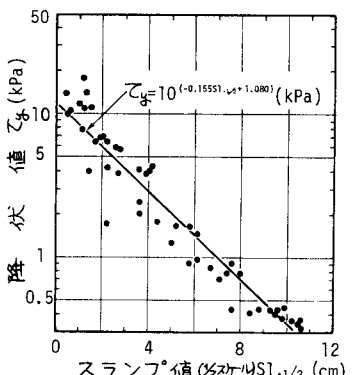


図-6 スランプ²⁾値と降伏値との関係